

研究简报

# 一类非线性预测控制系统的鲁棒稳定性

李阳春 许晓鸣 杨煜普

(上海交通大学自动化研究所 上海 200030)

**关键词** 标称稳定, 标称控制器, 鲁棒域.

## THE ROBUST STABILITY FOR A TYPE OF NONLINEAR PREDICTIVE CONTROL SYSTEM

LI Yangchun XU Xiaoming YANG Yupu

(Institute of Automation, Shanghai Jiaotong University, Shanghai 200030)

**Key words** Nominal stability, nominal controller, robust domain.

### 1 引言

作为预测控制技术核心之一的滚动优化算法的非线性,导致系统稳定性和鲁棒性分析变得很困难.然而,闭环稳定性和鲁棒性对大量的系统来说都是不容忽视的问题,即使对于线性系统,滚动优化策略并不一定能保证系统闭环稳定.当存在模型误差或干扰时,闭环鲁棒性更是未得到彻底解决.对非线性系统来说,这类问题的讨论才刚刚开始.基于对闭环稳定性(或鲁棒性)的考虑,系统设计可分两步:1)建立标称稳定系统(参见文[1~4]);2)考虑建模误差和干扰,同时确定闭环系统的鲁棒域及鲁棒裕度.本文集中讨论第二步,即控制器受扰时,闭环系统的鲁棒性条件及其几何意义.本文所讨论对象限于一类特定的非线性系统.文中的定理推广了文献[2]的相应结论,讨论了受扰稳定控制器应该满足的条件,并给出了所得结论的几何直观意义.

### 2 预测控制系统

考虑非线性系统

$$x(k+1) = f(x(k), u(k)), \quad (1)$$

其中  $f(0,0)=0, x \in R^n, u \in R^p$ . 在时刻  $k$ , 优化

$$J(k) = \sum_{i=0}^{N-1} \{l(x(k+i)) + m(u(k+i))\}, \quad (2)$$

得到序列  $u(k), \dots, u(k+N-1)$ , 使终态  $x(k+N)=0$ , 其中  $u(k)$  作为当前时刻的控制输入. 假设  $l(x) > 0, \forall x \neq 0, l(0) = 0$  且  $m(u) > 0, \forall u \neq 0, m(0) = 0$ . 在时刻  $k+1$ , 优化  $J(k+1)$  得到  $u(k+1)$ , 并且  $x(k+N+1) = 0$ . 在当前时刻  $k, u(k)$  依赖于当前状态  $x(k)$ , 记  $u(k) = K(x(k))$ . 相应的标称闭环系统成为

$$x(k+1) = f(x(k), K(x(k))) = f_c(x). \quad (3)$$

当控制器受到加性干扰  $\Psi(x)$  或增益扰动  $\varphi(\cdot)$  时 ( $\varphi(\cdot), \Psi(x)$  未知), 可分为如图1、图2所示的两种情况. 干扰信号作用到标称控制器  $u(k) = K(x(k))$ , 实际控制律成为  $u(k) = \varphi(K(x) + \Psi(x))$  (图1) 和  $u(k) = \varphi(K(x)) + \Psi(x)$  (图2). 为了方便, 对两种控制器统一记为  $u(k) = z(x)$ , 相应的闭环状态方程为

$$x(k+1) = f(x(k), z(x(k))) = f_s(x). \quad (4)$$

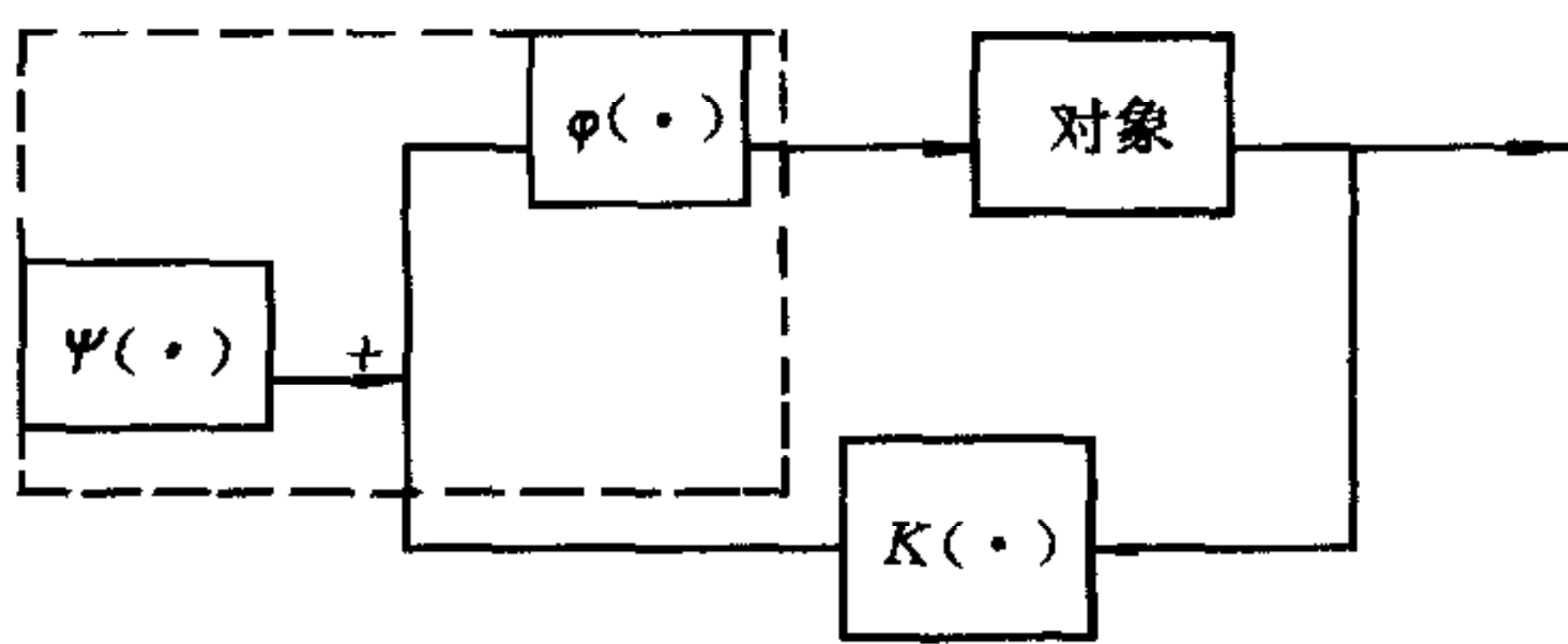


图1

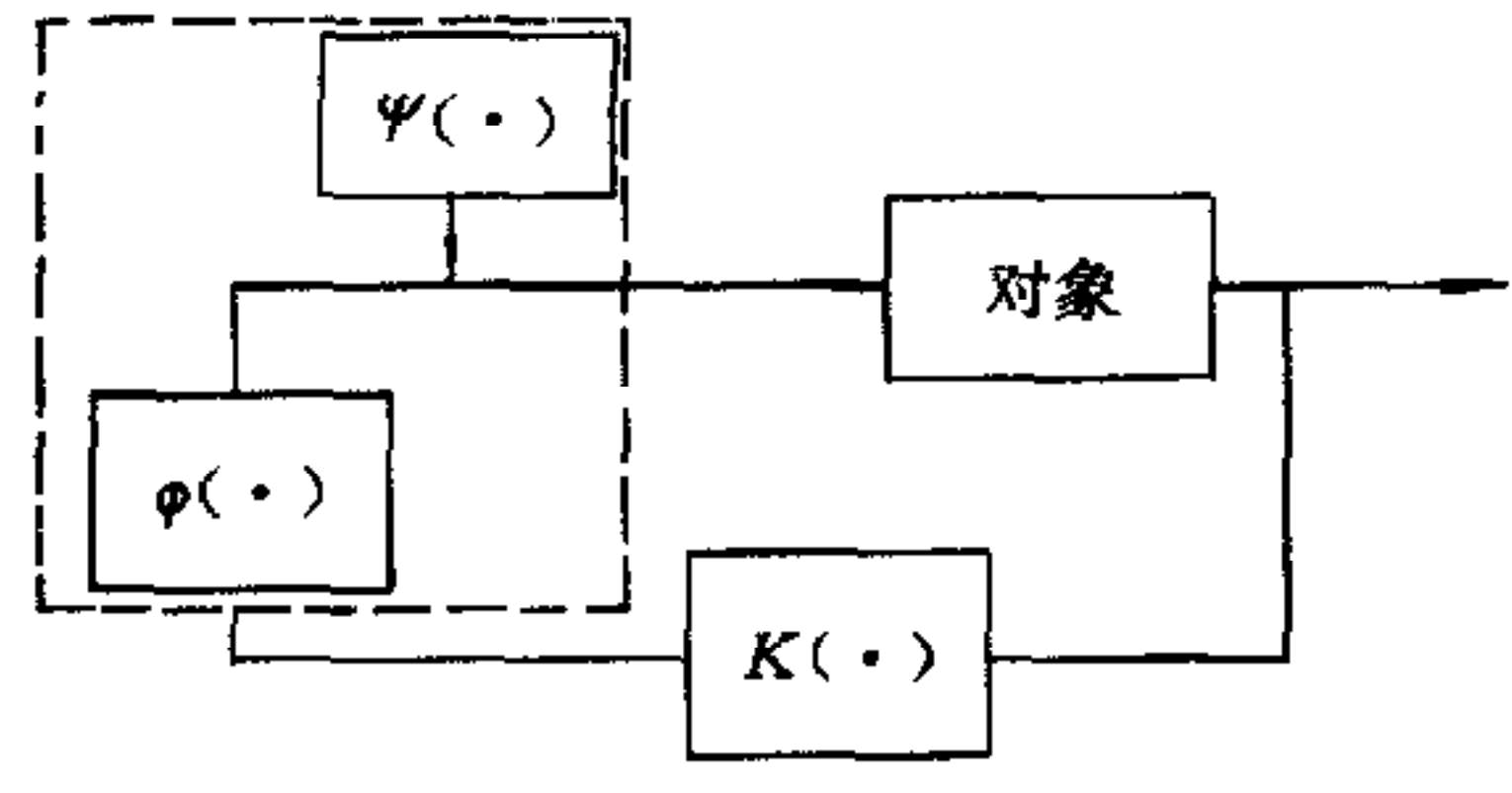


图2

当控制器只受到加性干扰或只受到增益扰动时, 相应的控制器及结论将相应简化.

### 3 鲁棒性分析

记目标函数的标称最优值为  $V(x, k, k+N-1)$ . 定义

$$V(x) = V(x, k, k+N-1), V^*(x) = V(x, k+1, k+N-1).$$

可以证明<sup>[2]</sup>

$$V(x) > V^*(f_c(x)) \geq V(f_c(x)), \forall x \neq 0. \quad (5)$$

由式(5),  $V(x)$  是标称闭环系统在平衡点  $x=0$  处渐近稳定的 Lyapunov 函数. 定义集合

$$D_s = \{z: V(f_s(x)) - V(x) < 0; \forall x \neq 0 \in R^n, f_s(x) = f(x, z(x))\}.$$

对于  $\forall z \in D_s$ , 在平衡点  $x=0$  处保证闭环鲁棒稳定性,  $D_s$  是系统(1)的稳定控制器集合.

考察标称控制器受到加性干扰或增益扰动时系统的闭环鲁棒稳定性, 有如下定理.

**定理.** 设  $z(x)$  表示受到加性干扰或增益扰动“污染”的控制器,  $V(\cdot) \in C^2, m(\cdot) \in C^1$ , 并且  $f(x, u) = f_1(x) + f_2(x)u$ . 如果

$$\{z(x) - K(x) - (D(x))^{-1}m_u(K(x))\}^T D(x) \{z(x) - K(x) - (D(x))^{-1}m_u(K(x))\} < m_u(K(x))^T (D(x))^{-1} m_u(K(x)) + 2(m(K(x)) + l(x)), \quad (6)$$

其中  $D(x) > 0$ , 使得  $f_2^T(x) V_{xx}(\omega) f_2(x) \leq D(x), \forall x, \forall \omega$ , 则  $z(x) \in D_s$ .

本定理是对文[2]中相应结论的推广. 对式(2)关于  $u$  取导数, 令其等于0, 可以得到



$$V_x^*(f_c(x))^T f_2(x) = -m_u(K(x))^T.$$

利用  $V^*(f_s(x))$  的 Taylor 展式, 以及  $V^*(f_c(x)) = V(x) - f(x) - m(K(x))$ , 经整理得到

$$V(f_s(x)) \leq V^*(f_s(x)) < V(x).$$

#### 4 几何解释

在控制器受扰时, 条件(6)有复杂的形式, 却有简单的几何意义.

$$\text{记 } p(K(x)) = K(x) + (D(x))^{-1}m_u(K(x)), \quad (7)$$

$$r(K(x)) = m_u(K(x))^T(D(x))^{-1}m_u(K(x)) + 2(m(K(x)) + l(x)). \quad (8)$$

于是, 式(6)可以改写成

$$(z(x) - p(K(x)))^T D(x) (z(x) - p(K(x))) < r(K(x)). \quad (9)$$

可以验证, 式(9)表示  $R^p$  空间内以  $p(K(x))$  为中心的超椭球  $O_d$ , 径向长度为  $\sqrt{r(K(x))}$ . 椭球  $O_d$  在  $R^p$  空间可以用图 3 表示 (虚线表示是开椭球). 若记  $D = \{D(x) : f_2^T(x)V_{xx}^*(\omega)f_2(x) \leq D(x), \forall \omega, \forall x\}$ . 在当前时刻  $k$ , 相应于测得的状态  $x(k)$ , 让  $D(x)$  在  $D$  内变动, 构成椭球集合  $F = \{O_d : D(x) \in D\}, \forall O_d \in F$  在  $R^p$  空间如图 4 分布. 记

$$O = \bigcup_{O_d \in F} O_d, \quad (10)$$

此式描述了控制器受扰时闭环系统的鲁棒稳定性域 (图 4 中由虚椭球所围区域), 它是在  $R^p$  空间中控制器受到加性干扰或增益扰动时闭环系统的鲁棒稳定区域, 简称鲁棒域.

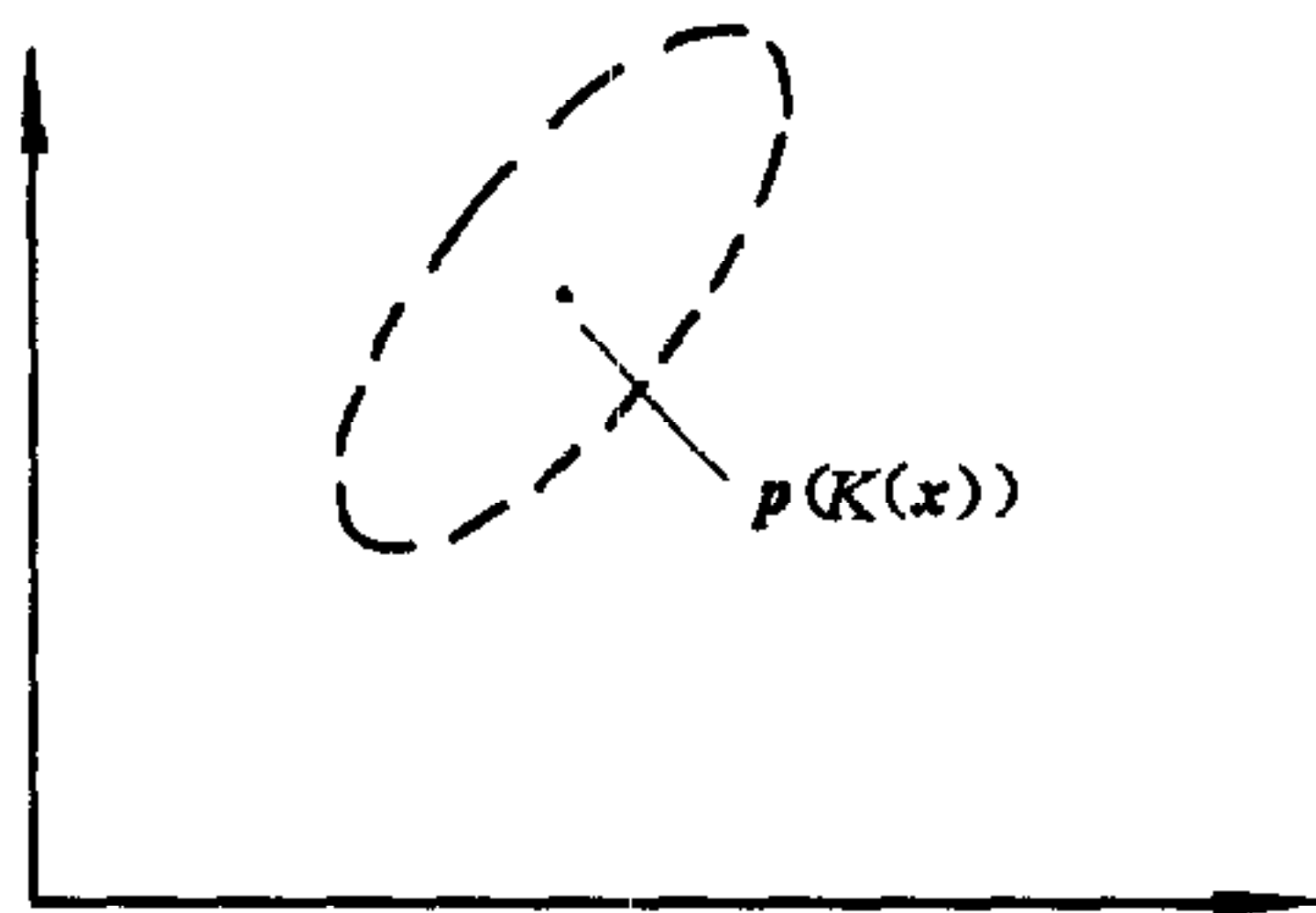


图3 相应于取定  $D(x)$  的稳定区域

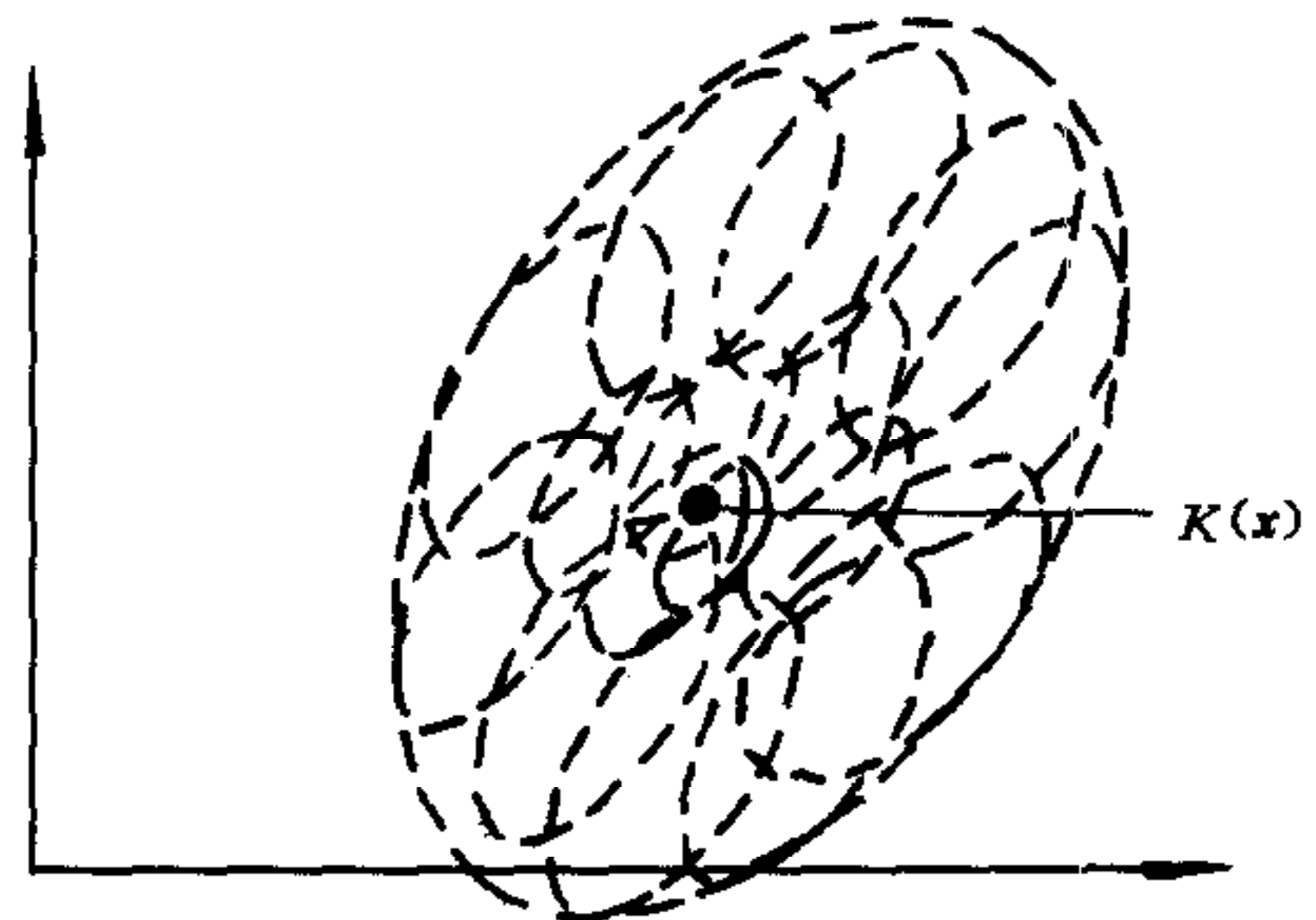


图4 相应于任意  $D(x)$  的稳定区域

展开式(9)并整理, 得到椭球  $O_d$  的另一种表述形式

$$(z(x) - K(x))^T D(x) (z(x) - K(x)) < 2m_u(K(x))^T (z(x) - K(x)) + 2(l(x) + m(K(x))),$$

在当前时刻  $k$ , 上式右边与  $D(x)$  无关, 于是  $D(x)$  存在上界  $d_{\max}$ . 由  $D(x)$  的定义,  $D(x)$  存在下界, 记为  $d_{\min}$ .

由式(7), 受扰控制量  $z(x)$  所属的椭球  $O_d$  的中心经标称控制  $K(x)$  在  $R^p$  空间的平移得到, 平移量  $\Delta K(x) = (D(x))^{-1}m_u(K(x))$ , 即干扰驱动标称控制器发生了重心偏移. 当  $D(x)$  逐渐增大,  $\Delta K(x)$  逐渐减小,  $p(K(x))$  向  $K(x)$  逼近.  $D(x)$  越大, 对这种偏移的抑制作用越大. 由式(8),  $D(x)$  增大,  $r(K(x))$  变小, 中心越靠近标称控制量的椭球, 其径向长度越小, 相应的闭环系统鲁棒裕度越小. 于是,  $\forall O_d \in O$  在标称控制器周围的分布如图 4.

本节讨论了上述定理的几何意义,从直观上给出了鲁棒控制器在空间  $R^p$  中的分布情况.

### 参 考 文 献

- 1 Nicolao G D *et al.* Robust predictive control of systems with uncertain impulse response. *Automatica*, 1996, **32**(10):1475~1479
- 2 Nicolao G D *et al.* On the robustness of receding-horizon control with terminal constraints. *IEEE Trans. Autom. Control*, 1996, **41**(3):451~453
- 3 Genceli H. Robust stability analysis of constrained  $l_1$ -norm model predictive control. *AIChE J.*, 1993, **39**(12):1954~1965
- 4 Kothare M V *et al.* Robust constrained model predictive control using linear matrix inequalities. *Automatica*, 1996, **32**(10):1361~1379

**李阳春** 1970年生,上海交通大学自动化研究所博士研究生. 目前研究兴趣为预测控制、鲁棒控制.

**许晓鸣** 1957年生,现为上海交通大学教授,博士生导师. 研究领域为预测控制、智能机器人、智能控制等.

**杨煜普** 1957年生,博士后,现为上海交通大学自动化系副教授. 研究领域为非线性控制系统、智能控制等.